

## 防波堤 基礎 mound部의 反射波 制御機能에 關한 研究

柳 青 魯·金 種 仁\*

釜山水產大學 海洋工學科, \*韓國電力公社 技術研究院  
(1987년 6월 4일 수리)

### Wave Reflection Control Functions of Mounds for a Foundation of Breakwaters

Cheong-Ro Ryu and Jong-In Kim\*

Department of Ocean Engineering, National Fisheries University of Pusan,  
Pusan, 608 Korea

\* Research Center of Korea Electric Power Corporation,  
Dong-gu, Daejön, 300 Korea  
(Received June 4, 1987)

Wave reflection control functions of mound for the foundation of composite and perforated breakwaters were investigated through the theoretical considerations. The theory developed is based on a simple summation of components of reflected waves. The applicability of the theory is assured by the comparative studies of the theoretical calculation and experimental data on the sea surface elevation in front of a breakwater.

It is found that the reflection is mainly controlled by depth and width of the mound. In the design of composite type perforated breakwaters, the width of perforated part of the upright section can be decreased to less than half of the conventional design width for the same reflection by using the reflection control function of mound part and the reflection can be reduced until less than 30% of that in the composite breakwaters.

Using the results, a design method of mounds is proposed, by which the reduction of wave reflection is assured under the given wave conditions.

### 序 論

港灣은 天然 또는 人工의 으로 外海로부터 來襲하는 波浪을 遮斷하여 船舶를 安全하게 碇泊시키는 場所이다. 売業의 發達과 貿易의 增大에 따라 港灣의 規模는 巴게 擴張되고 있으며, 產業施設의 臨海化 및 海岸域의 綜合開發·利用에 따라 人工構造物에 의한 積極的인 波浪制御가 이루어지고 있다.

즉, 從來의 港灣保護라는 單一目的의 防波堤에 있어서는 入謝波를 反射시키는 碎波시키는 波浪을 막아 주면 되었지만, 最近에는 海域의 綜合開發이라는 次元에서 海域全體의 靜穩化를 追求하게 되어 構造物로부터의 反射波에 의한 災害가 問題視되고 있다. 여기서 構造物建設에 의한 反射波災害의 增大를 막기 위해서, 波浪을 反射시키는 遮蔽方法으로부터 波浪에너지를 吸收 또는 波浪의 位相差를 利用한 反

射波制御工法이 現場에서 應用되고 있다 (榎木等<sup>1)~5)</sup>).

現在 많이 使用되고 있는 工法으로서는 漁港 등의 防波堤 外海쪽에 消波블록으로 傾斜堤의 形態를 만들었으므로 捨石堤와 같이 波浪의 碎波 및 에너지吸收가 일어나도록 하는 工法과, 遊水部를 가지는 低反射構造物 등에 의해 波浪의 位相을 조절함으로써 前方의 水面變動을 작게 하는 工法이 대표적인 것이다.

이러한 反射波 制御의 必要性과 現況으로부터 本研究에서는 이제까지 論議된 바 없는 低基混成防波堤 및 低反射防波堤의 新로운 反射波 制御工法으로서 마운드部를 利用하는 것에 대한妥當性을 理論解析과 水理實驗資料에 의해 檢討하고 이 마운드部의 反射波 制御機能面에서의 最適設計斷面에 대해 論議하고자 한다.



$p=1$  : mound 平坦部 끝에서 透過壁 사이의 값  
 $p=2$  : 透過壁과 不透過壁 사이(遊水部)의 값

$R$  : 反射에 관한 값

$T$  : 透過에 관한 값

$\theta$  : 位相의 遅刻

$L$  : mound 上에서의 波長

$x$  : mound 平坦部 끝을 原點으로 하여 外海쪽을  
 (+)로 한 水平距離

$\sigma$  : 角周波數( $2\pi/T$ )

$k$  : 波數( $2\pi/L$ )

$l_{B1}$  : mound 平坦部 끝에서 透過壁까지의 距離

$l_{B2}$  : 遊水部幅

$$\begin{aligned} \eta_C(x, t) = & \frac{\bar{H}}{2} + \frac{H}{2} \left[ \bar{K}_{R3} + \bar{K}_{T3}^2 \bar{K}_{R2} \bar{\alpha}_1^2 \right. \\ & \sum_{n=1}^{\infty} (\bar{\alpha}_1^2 \bar{K}_{R2} \bar{K}_{R3})^{n-1} + \bar{\alpha}_1^2 \bar{\alpha}_2^2 \bar{K}_{R1} \bar{K}_{T2}^2 \bar{K}_{T3}^2 \\ & \cdot \left\{ \sum_{n=1}^{\infty} (\bar{\alpha}_2^2 \bar{K}_{R1} \bar{K}_{R2})^{n-1} \right\} \left\{ \sum_{n=1}^{\infty} (\bar{\alpha}_1^2 \bar{K}_{R2} \bar{K}_{R3})^{n-1} \right\}^2 \\ & \cdot \sum_{n=1}^{\infty} \left\{ \bar{\alpha}_1^2 \bar{\alpha}_2^2 \bar{K}_{R1} \bar{K}_{R3} \bar{K}_{T2}^2 \right\} \sum_{n=1}^{\infty} (\bar{\alpha}_1^2 \bar{K}_{R2} \bar{K}_{R3})^{n-1} \\ & \cdot \left. \sum_{n=1}^{\infty} (\bar{\alpha}_2^2 \bar{K}_{R1} \bar{K}_{R2})^{n-1} \right\}^{n-1} \cdot \exp \{(-kx + \sigma t)i\} \end{aligned} \quad (6)$$

式(6)의 우변 제1항은 入射波, 제2항은 mound 平坦部 끝에서의 反射波, 제3항은 低反射堤의 透過壁을 통과하지 않은 경우의 反射波, 제4항은 透過壁을 통과한 경우의 反射波를 나타내고 있다. 式(6)을 定理하면,

$$\begin{aligned} \eta_C(x, t) = & \frac{\bar{H}}{2} + \frac{H}{2} \left[ \bar{K}_{R3} + \bar{\alpha}_1^2 \bar{K}_{R2} \bar{K}_{T3}^2 \Lambda \right. \\ & + \bar{\alpha}_1^2 \bar{\alpha}_2^2 \bar{K}_{R1} \bar{K}_{T2}^2 \bar{K}_{T3}^2 \frac{1}{1 - \bar{\alpha}_1^2 \bar{K}_{R1} \bar{K}_{R2}} \Lambda^2 \\ & \cdot \frac{1}{1 - \bar{\alpha}_1^2 \bar{\alpha}_2^2 \bar{K}_{R1} \bar{K}_{R3} \bar{K}_{T2}^2} \frac{1}{1 - \bar{\alpha}_1^2 \bar{K}_{R1} \bar{K}_{R3}} \Lambda \\ & \cdot \left. \exp \{(-kx + \sigma t)i\} \right] \end{aligned} \quad (7)$$

여기서,  $\Lambda = \frac{1}{1 - \bar{\alpha}_1^2 \bar{K}_{R2} \bar{K}_{R3}}$

式(7)로부터 實數部를 整理하면

$$\eta_C(x, t) = \frac{H}{2} \sqrt{C^2 + D^2} \cos(\sigma t + \theta^{**}) \quad (8)$$

여기서,  $\theta^{**} = \tan^{-1} \frac{D}{C}$  (9)

$$\begin{aligned} C = & \cos kx + K_{R3} \cos(\theta_{R2} - kx) \\ & + \frac{\alpha_1^2 K_{R2} K_{T3}^2 \{ \cos \theta_1 - \alpha_1^2 K_{R2} K_{R3} \cos(\theta_1 - \theta_2) \}}{1 - 2\alpha_1^2 K_{R2} K_{R3} \cos \theta_2 + \alpha_1^4 K_{R2}^2 K_{R3}^2} \end{aligned}$$

$$\begin{aligned} & + \frac{1}{\sqrt{X^2 + Y^2}} \{ K_1 \cos(\theta_3 - \theta^*) - K_2 \cos(\theta_4 - \theta^*) \\ & - K_3 \cos(\theta_5 - \theta^*) + K_4 \cos(\theta_6 - \theta^*) \} \end{aligned} \quad (10)$$

$$\begin{aligned} D = & \sin kx + K_{R3} \sin(\theta_{R2} - kx) \\ & + \frac{\alpha_1^2 K_{R2} K_{T3} \{ \sin \theta_1 - \alpha_1^2 K_{R2} K_{R3} \sin(\theta_1 - \theta_2) \}}{1 - 2\alpha_1^2 K_{R2} K_{R3} \cos \theta_2 + \alpha_1^4 K_{R2}^2 K_{R3}^2} \\ & + \frac{1}{\sqrt{X^2 + Y^2}} \{ K_1 \sin(\theta_3 - \theta^*) - K_2 \sin(\theta_4 - \theta^*) \\ & - K_3 \sin(\theta_5 - \theta^*) + K_4 \sin(\theta_6 - \theta^*) \} \end{aligned} \quad (11)$$

$$\theta_1 = -4\pi \frac{l_{B1}}{L} + \theta_{R2} + \theta_{T3} - kx$$

$$\theta_2 = -4\pi \frac{l_{B2}}{L} + \theta_{R2} + \theta_{R3}$$

$$\theta_3 = -4\pi \frac{l_{B1} + l_{B2}}{L} + \theta_{R1} + 2\theta_{T2} + 2\theta_{T3} - kx$$

$$\theta_4 = -8\pi \frac{l_{B1}}{L} - 4\pi \frac{l_{B2}}{L} + \theta_{R1} + \theta_{R2}$$

$$+ \theta_{R3} + 2\theta_{T2} + 2\theta_{T3} - kx$$

$$\theta_5 = -4\pi \frac{l_{B1}}{L} - 8\pi \frac{l_{B2}}{L} + 2\theta_{R1} + \theta_{R2} + 2\theta_{T2}$$

$$+ 2\theta_{T3} - kx$$

$$\theta_6 = -8\pi \frac{l_{B1} + l_{B2}}{L} + 2\theta_{R1} + 2\theta_{R2} + \theta_{R3}$$

$$+ 2\theta_{T2} + 2\theta_{T3} - kx$$

$$K_1 = \alpha_1^2 \alpha_2^2 K_{R1} K_{T2}^2 K_{T3}^2$$

$$K_2 = K_1 K_5$$

$$K_3 = K_1 K_7$$

$$K_4 = \alpha_1^4 \alpha_2^4 K_{R1}^2 K_{R2}^2 K_{R3} K_{T2}^2 K_{T3}^2$$

$$\theta^* = \tan^{-1} \frac{Y}{X}$$

$$\begin{aligned} X = & 1 - K_5 \{ 3 \cos(J_1) - 3K_5 \cos(2J_1) + K_5^2 \cos(3J_1) \} \\ & - 2K_5 \cos(J_2) + K_5 K_7 \{ 4 \cos(J_3) \\ & + 3K_5 K_7 \cos(2J_3) \} \\ & - \frac{K_5^2 K_7}{K_{R2}^2 K_{R3}^2} \cos(J_4) \{ 1 - 5K_{R2}^2 K_{R3} \} \\ & + 2K_5^3 K_7 \cos(J_5) - K_5 K_7^2 \{ 2\alpha_1 - 1 \} \cos(J_6) \\ & + K_7^2 \cos(J_7) + K_5^3 K_7^2 \cos(J_8) \\ & - \frac{K_1 K_{R3}}{K_{T3}^2} \cos(J_9) \\ & + 2 \frac{K_5^2 K_{T2}^2}{K_{R2}^2} \cos(J_{10}) - \frac{K_7 K_{T2}^2}{K_{R2}^2} \cos(J_{11}) \\ & + \frac{K_1 K_7 K_{R3}}{K_{R2}^2} \cos(J_{12}) - 2 \frac{K_5^2 K_7 K_{T2}^2}{K_{R2}^2} \cos(J_{13}) \\ & + \frac{K_5^2 K_{T2}^2}{K_{R2}^2} \cos(J_{14}) \end{aligned} \quad (14)$$

$$K_5 = \alpha_1^2 K_{R2} K_{R3}$$

$$K_6 = \alpha_1^2 K_{R2} K_{R3}^2$$

$$K_7 = \alpha_2^2 K_{R1} K_{R2}$$

}

}

$$\begin{aligned}
J_1 &= -4\pi \frac{l_{B1}}{L} + \theta_{R2} + \theta_{R3} \\
J_2 &= -4\pi \frac{l_{B2}}{L} + \theta_{R1} + \theta_{R2} \\
J_3 &= -4\pi \frac{l_{B1} + l_{B2}}{L} + \theta_{R1} + 2\theta_{R2} + \theta_{R3} \\
J_4 &= -8\pi \frac{l_{B1}}{L} - 4\pi \frac{l_{B2}}{L} + \theta_{R1} + 3\theta_{R2} + 2\theta_{R3} \\
J_5 &= -12\pi \frac{l_{B1}}{L} - 4\pi \frac{l_{B2}}{L} \theta_{R1} + 4\theta_{R2} + 3\theta_{R3} \\
J_6 &= -4\pi \frac{l_{B1}}{L} - 8\pi \frac{l_{B2}}{L} + 2\theta_{R1} + 3\theta_{R2} + \theta_{R3} \\
J_7 &= -8\pi \frac{l_{B2}}{L} + 2\theta_{R1} + 2\theta_{R2} \\
J_8 &= -12\pi \frac{l_{B1}}{L} - 8\pi \frac{l_{B2}}{L} + 2\theta_{R1} + 5\theta_{R2} + 3\theta_{R3} \\
J_9 &= -4\pi \frac{l_{B1} + l_{B2}}{L} + \theta_{R1} + \theta_{R3} + 2\theta_{T2} \\
J_{10} &= -8\pi \frac{l_{B1}}{L} - 4\pi \frac{l_{B2}}{L} + \theta_{R1} + \theta_{R2} + 2\theta_{R3} + 2\theta_{T2} \\
J_{11} &= -12\pi \frac{l_{B1}}{L} - 4\pi \frac{l_{B2}}{L} + \theta_{R1} + 2\theta_{R2} + 3\theta_{R3} + 2\theta_{T2} \\
J_{12} &= -4\pi \frac{l_{B1}}{L} - 8\pi \frac{l_{B2}}{L} + 2\theta_{R1} + \theta_{R2} + \theta_{R3} + 2\theta_{T2} \\
J_{13} &= -8\pi \frac{l_{B1} + l_{B2}}{L} + 2\theta_{R1} + \theta_{R2} + 2\theta_{R3} + 2\theta_{T2} \\
J_{14} &= -12\pi \frac{l_{B1}}{L} - 8\pi \frac{l_{B2}}{L} + 2\theta_{R1} + 3\theta_{R2} + 3\theta_{R3} + \theta_{R3}
\end{aligned} \tag{16}$$

$$Y = X^* - 1 \tag{17}$$

여기서,  $X^*$ 는 式(14) 中의 cosine 項을 sine 項으로 치환한 값이다.

위의 式(8)~(17)로부터 防波堤 前方의 距離  $x$  地點의 最大水面變動量  $\eta_c(x)$ 를 구하기 위하여  $\cos(\sigma t + \theta^{**}) = 1.0$  으로 놓으면, 式(8)은

$$\eta_c(x) = \frac{H}{2} \sqrt{C^2 + D^2} \tag{18}$$

이 된다. 式(18)에서 다시 可視反射率( $H_c(x)/H$ )로 써 反射率의 指標로 하면 防波堤 前方의 反射率은 다음 식으로부터 구할 수 있다.

$$\frac{H_c(x)}{H} = \sqrt{C_2 + D^2} \tag{19}$$

## 2. 有限反復反射理論

式(6)에서  $\bar{\alpha}_1^6 \bar{K}_{R2}^2 \bar{K}_{R3}^2 \bar{K}_{T3}^2$  以上의 項은 微小項이므로 생략하면 다음 식을 얻을 수 있다.

$$\begin{aligned}
\eta_c(x, t) &= \frac{\bar{H}}{2} + \frac{H}{2} \{ \bar{K}_{R3} + \bar{\alpha}_1^2 \bar{K}_{R2} \bar{K}_{T3}^2 \\
&\quad + \bar{\alpha}_1^2 \bar{\alpha}_2^2 \bar{K}_{R1} \bar{K}_{T2}^2 \bar{K}_{T3}^2 \\
&\quad + \bar{\alpha}_1^4 \bar{K}_{R2}^2 \bar{K}_{R3} \bar{K}_{T3}^2 \cdot \exp \{(-kx + \sigma t)i\} \}
\end{aligned} \tag{20}$$

여기서 우변 제1항은 入射波 제2항은 mound 平坦部 끝에서의 反射波, 제3항은 透過壁으로부터 1회째의 反射波, 제4항은 不透過壁으로부터의 1회째 反射波 제5항은 透過壁으로부터의 2회째 反射波를 나타내고 있다.

防波堤 前方의 時·空間 水面變動量  $\eta_c(x, t)$ 는 式(20)의 실수 부분을 취하여 다음 式으로부터 계산할 수 있다.

$$\begin{aligned}
\eta_c(x, t) &= \frac{H}{2} \{ \cos(kx + \sigma t) + K_{R3} \cos(\sigma t - kx + \theta_{R3}) \\
&\quad + \alpha_1^2 K_{T3}^2 K_{R2} \cos(\sigma t - kx \\
&\quad - 4\pi \frac{l_{B1}}{L} + 2\theta_{T3} + \theta_{R2}) \\
&\quad + \alpha_1^2 \alpha_2^2 K_{T3}^2 K_{T2}^2 K_{R1} \cos(\sigma t - kx \\
&\quad - 4\pi \frac{l_{B1} + l_{B2}}{L} + 2\theta_{T3} + 2\theta_{T2} + \theta_{R1}) \\
&\quad + \alpha_1^4 K_{T3}^2 K_{R2} K_{R3} \cos(\sigma t - kx - 8\pi \frac{l_{B1}}{L} \\
&\quad + 2\theta_{T3} + 2\theta_{R2} + \theta_{R3}) \}
\end{aligned} \tag{21}$$

式(21)은 간단한 계산과정을 거쳐서

$$\begin{aligned}
\alpha &= \cos kx + K_{R3} \cos(-kx + \theta_{R3}) + \\
&\quad \alpha_1^2 K_{R2} K_{T3}^2 \cos(-kx - 4\pi \frac{l_{B1}}{L} + 2\theta_{T3} + \theta_{R2}) \\
&\quad + \alpha_1^2 \alpha_2^2 K_{R1} K_{T2}^2 K_{T3}^2 \cos(-kx \\
&\quad - 4\pi \frac{l_{B1} + l_{B2}}{L} + 2\theta_{T2} + \theta_{R1}) \\
&\quad + \alpha_1^4 K_{T3}^2 K_{R2}^2 K_{R3} \cos(-kx \\
&\quad - 8\pi \frac{l_{B1}}{L} + 2\theta_{T3} + 2\theta_{R2} + \theta_{R3}) \\
\beta &= \sin kx + K_{R3} \sin(-kx + \theta_{R3}) + \\
&\quad \alpha_1^2 K_{R2} K_{T3}^2 \sin(-kx - 4\pi \frac{l_{B1}}{L} \\
&\quad + 2\theta_{T3} + \theta_{R2}) \\
&\quad + \alpha_1^2 \alpha_2^2 K_{R1} K_{T2}^2 K_{T3}^2 \sin(-kx \\
&\quad - 4\pi \frac{l_{B1} + l_{B2}}{L} + 2\theta_{T2} + \theta_{R1}) \\
&\quad + \alpha_1^4 K_{T3}^2 K_{R2}^2 K_{R3} \sin(-kx \\
&\quad - 8\pi \frac{l_{B1}}{L} + 2\theta_{T3} + 2\theta_{R2} + \theta_{R3})
\end{aligned} \tag{22}$$

라 놓으면,

$$\eta_c(x, t) = \frac{H}{2} \sqrt{\alpha^2 + \beta^2} \cos(\sigma t + \theta^*) \tag{23}$$

가 된다. 여기서,

$$\theta^* = \tan^{-1} \frac{\beta}{\alpha}$$

以上으로부터  $x$  地點의 最大水面變動量은

$$\eta_c(x) = \frac{H}{2} \sqrt{\alpha^2 + \beta^2} \tag{24}$$

가 된다. 式(25)로부터 可視反射率은

$$\frac{H_C(x)}{H} = \sqrt{\alpha^2 + \beta^2} \quad (25)$$

로부터 구할 수 있다.

이상의 理論式 誘導는 透過壁을 가진 低反射堤에 대한 것이다. 混成堤의 경우에는  $K_{R2}=0$ ,  $K_{T2}=1.0$ ,  $\theta_{R2}=0$ ,  $\theta_{T2}=0$ 로 놓고,  $l_{B1}$ 과  $l_{B2}$ 에 대해서는 混成堤 mound 幅  $l_B$ 에 대하여  $l_{B1}+l_{B2}=l_B$ 의 조건을 만족하도록 하면, 위의 理論式은 그대로 混成堤에 대해서도 적용할 수 있다. 절과적으로, 無限의 反復反射를 고려할 경우에는 式(19)로부터 有限의 反復反射를 고려할 경우에는 式(25)로부터 防波堤前方 임의거리( $x$ )에서의 수면변동량을 計算할 수 있으며, 水面变动의 最大值를 보이는  $x$ 에서의 变动量으로부터 反射率( $H_{cmax}/H$ )을 구할 수 있다.

## Mound部의 反射波 制御機能

### 1. 防波堤 前方의 水面变动

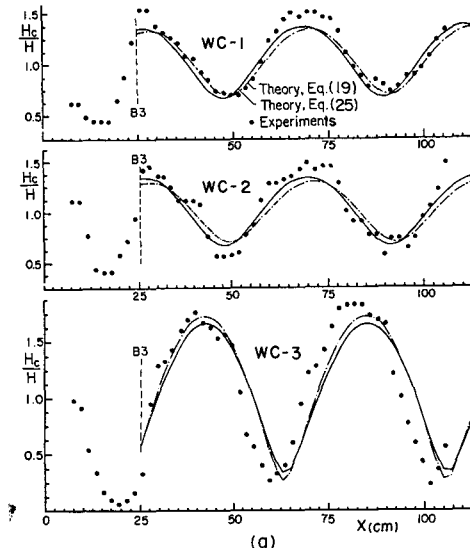
理論解析에서 論議한 水面变动推定法의妥當性을 檢證하기 위하여 防波堤 前方의 水面变动量에 관한 柳·椹木<sup>7)</sup>의 實驗結果와 비교검토하였다.

式(16) 및 式(25)로부터 거리  $x$ 에서의 水面变动量을 理論的으로 구할 수 있다. 그러나 實際計算에 있어서는  $K_{R1}$ ,  $K_{R2}$ ,  $K_{T3}$ ,  $\theta_{R1}$ ,  $\theta_{P2}$ ,  $\theta_{T2}$ ,  $\theta_{R3}$ ,  $\theta_{T3}$ ,  $\varepsilon_1$ ,  $\varepsilon_2$ ,  $l_{B1}$ ,  $l_{B2}$ ,  $L$  등 많은 變數 및 係數들을 斷面形狀과 波浪特性에 따라 變化시켜 주지 않으면 안되는 데, 이들 係數는 理論解에 의해 正確히 計算할 수 없는 것이 대부분이다. 따라서 本研究에서는 Table 1과 같은 가정하에 각 係數를 導入하여 理論計算을 實施하였다.

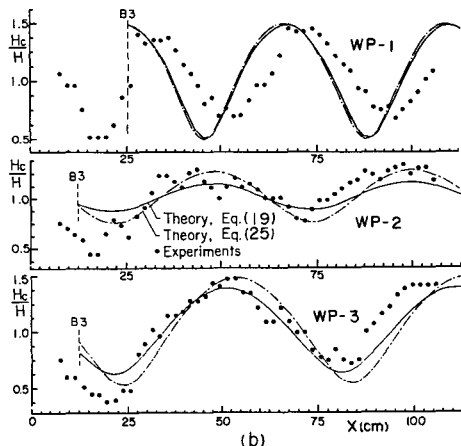
Fig. 3은 無限反復反射 및 有限反復反射에 대한 理

Table 1. Coefficients used in the theoretical calculation

Coefficient	Source
$K_{R1}=1.0$	
$K_{R2}=0.3$	Sawaragi et al. <sup>1)~4)</sup>
$K_{T2}=0.7$	
$K_{R3}$	Experimental value by Ryu and Sawaragi <sup>7)</sup>
$K_{T3}$	Experimental value by Ryu <sup>6)</sup>
$\theta$ : Neglect	
$\alpha$ : Neglect	
$L=L_{h=20\text{ cm}}$	Wave length at 20 cm water depth calculated by small amplitude wave theory



(a)



(b)

Fig. 3. Sea surface elevation in front of the composite breakwaters(a) and of the composite type perforated breakwaters(b).

論計算值와 柳<sup>6)</sup>, 柳·椹木<sup>7)</sup>의 實驗值를 동시에 나타낸 것이다.

入射波條件 및 計算上 주어진 係數는 Table 2에 나타나 있으며, 計算條件은 柳·椹木<sup>7)</sup>의 實驗條件에 맞도록 한 것이다.

Table 1과 같은 假定에도 불구하고 防波堤 前方의 最大水面变动에 대한 理論值은 無限反復反射를 고려한 式(19)와 有限反復反射를 고려한 式(25)에 의한水面变动의 計算值가 모두 實驗值와 비교적 잘 일치함을 알 수 있다. 단지 Fig. 3(a)에서와 같이 最大值

Table 2. Coefficients and conditions used in the theoretical calculation of sea surface elevation

Type of breakwater	Case	$l_B$	$l_{B1} + l_{B2}$	$h_0$	$h_1$	H	T	$K_{R1}$	$K_{R2}$	$K_{T2}$	$K_{R3}$	$K_{T3}$
Composite	WC-1	25		20	5	4.3	0.8	1.0			0.5	0.5
	WC-2	25		20	5	4.8	0.8	1.0			0.5	0.5
	WC-3	25		20	15	2.1	0.8	1.0			0.1	0.9
Perforate	WP-1		25	20	5	4.0	0.8	1.0	0.3	0.7	0.5	0.5
	WP-2		12.5	20	10	3.1	1.0	1.0	0.3	0.7	0.2	0.8
	WP-3		12.5	20	15	3.2	1.0	1.0	0.3	0.7	0.1	0.9

의 絶對值가 약간 달라지는 경우가 있고, Fig.3(b)와 같이 理論值와 實驗值의 peak에 대한 위상차가 나타나는 경우도 있으나 이것은 Table 2에서 無視한 位相遲刻의 항과 計算上 mound 部 反射點의 決定方法의 差에 의한 것이라고 생각할 수 있다. 이러한 實驗值와 理論值의 差는 反射率의 論議에는 큰 問題가 되지 않을 정도의 크기이며 理論式에서 有限反復反射의 경우와 無限反復反射의 경우가 거의 유사한 結果 나타나서, 어느 쪽을 使用하여도 反射率論議에 有用로 함을 알 수 있다. 이러한 結果는 Ryu and Sawaragi<sup>[8]</sup>의 複合斷面捨石堤에 대한 研究結果와 관련지워서 응용할 수 있을 것으로 생각된다.

## 2. Mound 幅 및 遊水部幅에 의한 反射率의 變化

理論式의 적용성은 앞에서 論議한 바와 같으나, 특히  $K_{R3}$ ,  $K_{T3}$ ,  $\varepsilon_1$ ,  $\varepsilon_2$ 는 mound 部의 水深에 크게 영향을 받는 변수라 생각할 수 있다. 여기서 이들 4개의 變數를 變化시킴에 따른 反射率 變化를 理論計算을 통해 나타낸 것이 Fig.4와 Fig.5이다.

Fig.4는  $K_{R3}$ 를 parameter로 하여 mound 幅의 變化에 따른  $H_{Cmax}/H$ 의 變化를 나타낸 것이다. 이 그림에서 Fig.4(a)의 a-2와 Fig.4(b)의 b-2, b-4는 無限反復反射, Fig.4(a)의 a-1과 Fig.4(b)의 b-1, b-3은 有限反復反射에 대한 計算結果를 나타내고 있다. 이들을 비교해 보면 全體的인 傾向變化는 거의 없으나 混成堤에 있어서는  $l_B/L \approx 0.0$  및  $l_B/L \approx 0.5$ , 低反射堤에 대해서는  $(l_{B1} + l_{B2})/L \approx 0.0$  근방에서 反射率( $H_{Cmax}/H$ )의 絶對值에 많은 差異를 보이는 것으로 나타났다. 그러나 反射率의 極小值는 그다지 變化가 없으며,  $2.0 < \{l_B/L \text{ or } (l_{B1} + l_{B2})/L\} < 3.0$ 의 범위에서 나타남을 알 수 있다.

다음에, 波浪의 에너지 消散率( $\varepsilon = \varepsilon_1 = \varepsilon_2$ )을 고려하여 mound 幅 變化에 따른 反射率의 計算結果를 나타낸 것이 Fig.5이다. 여기서도 a-1, b-1은 式(25),

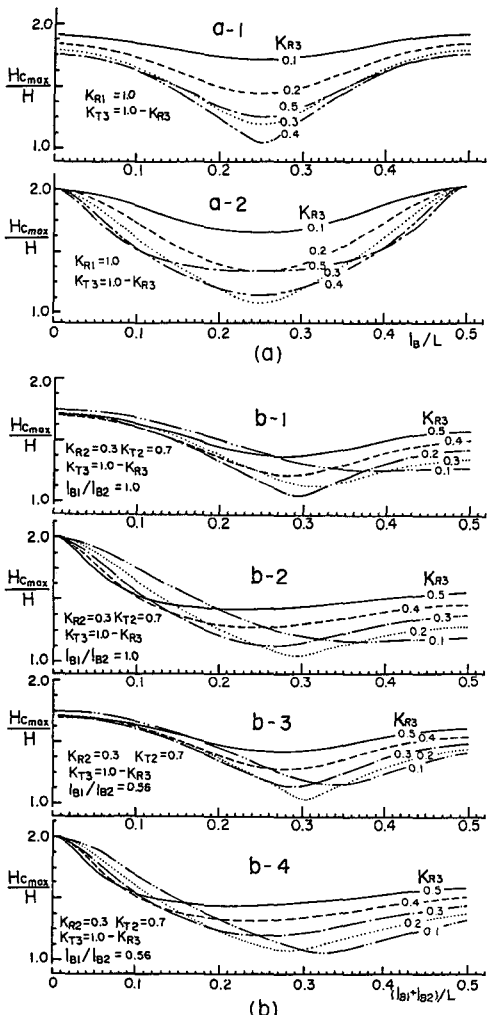


Fig. 4. Variation of the reflection coefficient due to the berm width and  $K_{R3}$  for the composite breakwaters(a) and for the composite type perforated breakwaters(b).

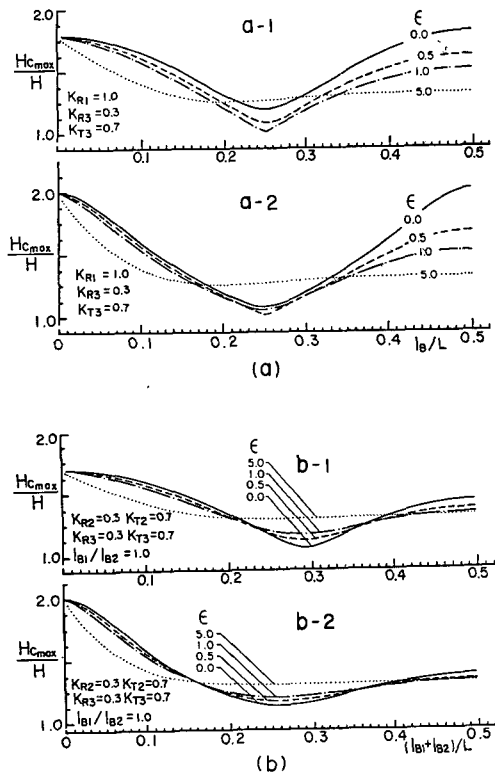


Fig. 5. The effect of energy dissipation on the mounds for the reflection in the composite breakwaters (a) and in the composite type perforated breakwaters(b).

a-2는 式(19)로부터  $\epsilon$ 를 고려하여 계산한 것이며, Fig. 5(b)는  $\epsilon_1=\epsilon_2=\epsilon$ 로 놓고 계산한 결과이다. 한편, Sawaragi 등<sup>1)~4)</sup>의 碎波實驗에 의하면 遊水部幅이 本研究의 경우와 유사한 경우, spilling breaker에서  $\epsilon=0.5\sim 1.4$  정도이고,  $\epsilon=5.0$ 과 같은 큰 감쇠는 거의 발생하지 않는다고 한다. 이러한結果와 Fig. 5를 비교해 보면 反射率에 미치는 mound部의 에너지 消散率의 영향은 생각했던 것보다 작은 것을 알 수 있다.

mound部의 相對水深( $h_1/H$ )과 波形傾斜を parameter로 하여 反射率과 mound部幅( $l_B/L$  또는  $(l_{B1}+l_{B2})/L$ )의 관계에 관한 柳·樺木<sup>7)</sup>의 實驗值와 式(19)와 式(25)에 의한 理論值를 나타낸 것이 Fig. 6(a)이다. 이들 그림으로부터 理論值와 實驗值는 그 絶對值에 관해 論議할 경우  $K_{R3}$ 의 決定方法과 實驗值의 分散에 관한 문제가 남아 있으나, 全體의 인 경향은 잘 표현되어 反射率이 最小值를 보이는 영역은 잘 나타내고 있다고 할 수 있다. 한편 Fig. 6 (a)의 a-3은 反射率의 變化에 mound幅의 영

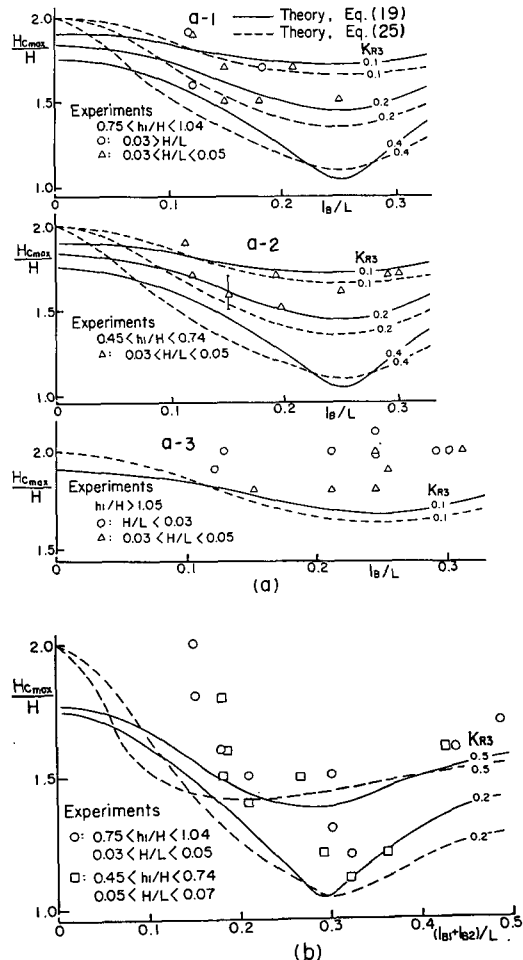


Fig. 6. Theoretical and experimental results of reflection control function of mounds of the composites breakwaters (a) and of the composite type perforated breakers(b).

향이 나타나지 않고 있는데, 이것은 상대수심( $h_1/H$ )이 크기 때문에 mound平坦部 끝(Boundary 3)에서의 反射가 거의 없기 때문이다.

이상 mound의 幅 및 遊水部의 幅에 의한 反射率의 變化에 대해서 實驗值와 理論值를 비교하여 보았다. 이들 結果로부터 本研究의 理論解析方法은 유용한 것으로 結論지을 수 있으며 混成堤 mound部로써 反射率을 제어하기 위해서는 mound의 幅을  $\frac{1}{4}$  波長정도로 합이 좋다는 것을 알 수 있다. 또한 mound平坦部 끝에서의 反射率을 slit 구조물과 같이 투파벽의 公극을로 조절할 수 없기 때문에, mound부의 깊이를 變化시키는 것에 의해 조절할 수 밖에 없다.

## 防波堤 基礎 mound 部의 反射波 制御機能

混成堤에 있어서  $K_{R3}$ 의 變化에 따라 反射率의 絶對值는 變하지만 最小值를 나타내는 영역 등의 경향은 變化하지 않으므로 反射率을 고려하여  $K_{R3}$  즉, mound 部의 수심과 mound 幅을 타당하게 결정하면 합리적일 것이다.

반면, 低反射堤에 있어서는 Fig.6(b)에서와 같이  $K_{R3}$ 의 증대, 즉  $h_1$ 이 얕아 질수록 反射率이 가장 작은  $l_{B1} + l_{B2}$ 는 짧아지는 경향을 가졌다. 이는 低反射堤의 mound 部 깊이가 消波效果에 미치는 영향이 매우 큰 것을 意味하며 最適 mound 形狀을 결정하기 위해서는 mound 部 先端에서의 反射率·誘過率에 대한 檢討가 충분히 이루어져야 할 必要가 있다.

### Mound部의 最適設計에 관한 檢討

mound 部의 反射波 制御機能을 고려하여 反射率을 极小化하기 위한 混成堤 mound 部의 제원은 앞에서 論議된 바와 같이 相對 mound 幅( $l_B/L$ )과 相對水深( $h_1/H$ )에 의해 決定되어짐을 알 수 있다.

즉,  $h_1/H$ 가 일정한 條件에서 mound 幅이  $l_B/L \approx 0.25$ 일 경우 反射率에 관한 理論值와 實驗值가 모두 최소인 것은 일 반적인 사항으로 말할 수 있었다.

그러나  $h_1/H$ 의 效果는 mound 部 끝에서의 反射率을 左右하는 것으로서, 이  $K_{R3}$ 는 일 반적인 低反射堤의 slit 전면에서의 反射率의 最適值와 같이  $0.3 < K_{R3} < 0.4$ 가 되도록  $h_1/H$ 를 조절할 必要가 있다. 이  $K_{R3}$ 의 조건을 만족하기 위해서는 本研究의 計算結果 및 柳・榎木<sup>7)</sup>의 實驗結果를 고려하여  $0.5 < h_1/H < 1.0$  정도가 타당한 것으로 나타났다.

한편, 低反射堤에 있어서  $(l_{B1} + l_{B2})/L$ 의 反射率은  $h_1/H$ 에 따라 달라진다. 즉,  $h_1/H$ 가 충분히 큰( $h_1/H > 1.0$ ) 영역에서는  $l_B/L$ 의 效果만이 反射率 變化에 영향을 미치게 된다.  $h_1/H$ 가 작아짐에 따라  $(l_{B1} + l_{B2})/L$ 이 작은 영역에서 反射率의 최소치를 나타내게 되어,  $h_1/H$ 의 조절에 따라  $l_{B2}$ , 즉 유수부 幅을 1/2 이상까지 크게 하여도 反射率의 低減效果는 충분하게 된다.

이들 結果로부터 mound 部의 反射波制御機能을 고려한 反射波制御工法으로서 mound 를 이용할 경우에는 다음과 같은 構造物 諸元을 가지는 것이 바람직함을 結論지울 수 있었다.

$$\text{混成堤의 경우 : } 0.5 < h_1/H < 1.0 \\ l_B/L \approx 0.25 \quad \} \quad (26)$$

$$\begin{aligned} \text{低反射堤의 경우 : } 0.5 &> h_1/H < 1.0 \\ 0.2 &\leq \frac{l_{B1} + l_{B2}}{L} \leq 0.3 \end{aligned} \quad \} \quad (27)$$

## 要約 및 結論

低基 混成防波堤 및 低反射防波堤의 새로운 反射波制御工法으로서, mound 部를 利用하는 것에 대한 妥當性을 理論解析을 중심으로 論議하고 他의 實驗結果를 參照하여 이 mound 部의 反射波制御機能을 고려한 設計斷面의 決定에 대해 論議하였다.

理論的 解析은 mound 上部에서의 波浪의 反復反射理論을 적용한 것이며, 有限 및 無限反復反射를 고려한 防波堤 前方의 水面變動에 관한 計算式을 유도하였다.

이 理論에 의한 前方 水面變動의 計算結果를 他의 實驗結果와 비교하여 理論의 적용성을 입증하였으며 有限反復反射理論이나 無限反復反射理論이나 그 計算結果에는有意한 만한 差가 없었다. 이러한 理論의 妥當性를 確認한 後, 計算結果로부터 얻어진 mound 的 波浪制御機能을 极大化하기 위한 設計諸元은 다음과 같이 結定할 수 있었다.

混成堤의 경우 mound 先端에서의 反射率을 0.3~0.4 정도로 조절하기 위하여 mound 部의 水深은  $0.5 < h_1/H < 1.0$  정도로 하여야 하며, mound 幅은  $(l_B/L) \approx 0.25$ 로 하면 反射波制御機能을 极大화할 수 있다.

한편 低反射堤의 경우는 mound 部 水深( $h_1/H$ )을 조절함에 따라 slit 케이슨의 遊水部幅( $l_{B1}$ )을 1/2 이하로 작게 할 수 있어서 mound 部의 反射波 低減效果를 충분히 應用할 수 있음을 알 수 있었다.

이 경우는  $0.5 < h_1/H < 1.0$ ,  $0.2 < (l_{B1} + l_{B2})/L < 0.3$ 으로 해야만 바람직한 反射波 制御效果를 기대할 수 있다.

## 謝辭

本研究는 韓國科學財團의 1985年度 後半期 차관 연구비 지원과제인 “海岸構造物의 安定性과 波浪制御機能을 考慮한 最適化 設計法”에 관한 研究의 細部課題로 이루어진 것이며, 財團에 深甚한 感謝의 뜻을 표한다.

文 獻

1. 槙木亨・岩田好一朗. 1973. 多孔壁式消波岸壁の水理特性に関する二、三の考察. 土木學會論文報告集 220, 53—63.
2. 槙木亨・岩田好一朗. 1975. 橫スリット型防波堤の消波効果と現地への適用條件について. 土木學會論文報告集 237, 63—74.
3. 槙木亨・岩田好一朗. 1977. 二重誘過壁を有する鉛直消波岸壁の消波効果について. 土木學會論文報告集 262, 41—53.
4. 槙木亨・岩田好一朗・富士川淳一. 1977. 不規則波に對する鉛直消波岸壁の消波効果. 土木學會論文報告集 263, 63—76.
5. 槙木亨・柳青魯. 1983. 捨石防波堤の複合斷面設計に關する基礎的研究. 第30回海岸工學講演會論文集 30, 361—365.
6. 柳青魯. 1984. 捨石防波堤の水理學的最適設計に關する基礎的研究. 大阪大學博士學位論文. p. 165.
7. 柳青魯・槙木亨. 1987. 混成防波堤基礎 mound 部の安定性と反射波制御機能. 第34回 海岸工學講演會論文集(印刷中).
8. Ryu, Cheong-Ro and Toru Sawaragi. 1986. Wave control functions and design principles of composite slope rubble mound structures. Coastal Engineering in Japan 29, 227—240.